

EŞDÜZLEMSEL DALGA KILAVUZUNDAN MİKROŞERİT HATTA GEÇİŞ ÜZERİNE ÇALIŞMALAR

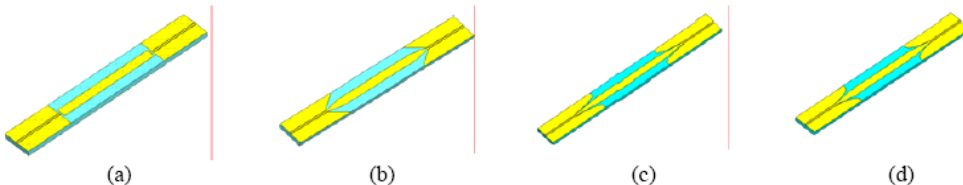
E. U. Temoçin, K. Topallı, M. Ünlü, İ.İstanbulluoğlu, H.İ. Atasoy, Ö. Bayraktar
Ş. Demir, Ö. Aydin Çivî, S. Koç, T. Akin

Orta Doğu Teknik Üniversitesi, Elektrik-Elektronik Mühendisliği Bölümü, Ankara
Tel: (312) 210-4564, Faks: (312) 210-1261, E-posta: simsek@metu.edu.tr

Özet: Bu çalışmada eşdüzlemsel dalga kılavuzundan mikroşerit hatta geçiş en az yansımı ile gerçekleştirmeyi hedefleyen yapılar tasarılanmış ve üretilmiştir. Hat empedansları 50Ω olacak şekilde direk geçiş, doğrusal geçiş, merdiven tipi geçiş ve çok noktalı geçiş olmak üzere 4 farklı tip geçiş üzerinde çalışılmış, her biri üzerinde farklı parametrelerin değişiminin yansımaya ve hat karakteristiklerine etkileri incelenmiştir. Direk ve doğrusal geçişlerde $1 - 5 \text{ GHz}$ arası -20 dB 'nin altında yansımaya elde edilirken, merdiven tipi ve çok noktalı geçişlerde ise $1 - 20 \text{ GHz}$ bandının büyük bir bölümünde -20 dB 'nin altında yansımaya elde edilmiştir.

1. Giriş

Eşdüzlemsel dalga kılavuzu (EDK) ile mikroşerit hatlar günümüz RF uygulamalarında en çok tercih edilen iletim hatları olarak kendilerine yer bulmuştur [1]-[2]. Yeni geliştirilen bazı anten ve benzeri devre elemanlarında her iki tip hattın aynı taban üzerinde kullanılması gerekmektedir. Bu tip yapıarda kayipları en aza indirecek ve uygun giriş empedansını saglayacak uygun EDK-mikroşerit geçişler kullanılmalıdır. Mikro-elekromekanik sistemlerde (MEMS) ise yapıların fabrikasyonu pul tizerinde olup, ölçümler üç istasyonu aracılığı ile ağ analizörü tarafından gerçekleştirilmektedir. Pul tüstünde ölçümlerin gerçekleştirilebilmesi için RF MEMS yapılar EDK beslemeli olarak tasarılanmaktadır. Ancak dış dünyaya açılacak ürün hedeflendiğinde ise uygun bir paketleme ve sistem entegrasyonu tasarımları yapmak zorunlu hale gelmektedir. Bu gibi durumlarda artık pul türü ölçüm almak yerine, eleman bazında ölçüm almak gerekmektedir. EDK üzerine tasarlanan her tür devre elemanı paketleme sonucunda mikroşerit giriş-çıkışa ve istenilen elektriksel özelliklerini koruyabilmesi için uygun EDK-mikroşerit geçiş yapısına sahip olmalıdır.



Şekil 1: Arka arkaya bağlı EDK-mikroşerit-EDK geçişlerinin genel görünümü. (a) Direk geçiş. (b) Doğrusal geçiş.
(c) Merdiven tipi geçiş. (d) Çok noktalı geçiş.

Tasarımlarda EDK ve mikroşerit hat uzunlukları $5000 \mu\text{m}$ olarak belirlenmiştir. Yapılar, cam taban (Pyrex 7740, $\epsilon_r=4.6$) üzerine altın şekillendirme biçiminde oluşturulmuştur. Hat empedanslarını 50Ω 'a sabitlemek için EDK boyutları $25-170-25 \mu\text{m}$ (toprak-sinyal-toprak) ve mikroşerit genişliği $936 \mu\text{m}$ olarak tasarlanmıştır. Mikroşerit modu elektrik alanının sağlanması amacıyla cam tabanın arkası da metal ile kaplanmıştır. Şekil 1'de yapılmış genel görünümü verilmektedir.

Direk geçişli modelde EDK'dan mikroşerite geçiş, EDK sinyal hattının mikroşerit girişine direk bağlanmasıyla sağlanmıştır. Değişken ara geçişteki uzunluk olarak tanımlanmış ve $25, 100, 200, 300$ ve $500 \mu\text{m}$ geçiş uzunluğuna sahip yapılar tasarlanıp üretilmiştir. Doğrusal geçişli modelde ise EDK sinyal hattı mikroşerit

girişine doğrusal olarak açılarak bağlanmış, toprak hattı da mikroşerit hat girişine kadar doğrusal şekilde açılmıştır. Geçiş uzunluğu 250, 500, 750, 1000, 1250, 1500, 1750 μm olan yapılar tasarlanmıştır ve üretilmiştir. Merdiven tipi yapılarda ise EDK'dan mikroşeride geçiş, belirli sayıdaki aynı karakteristik empedansa sahip EDK adımlarıyla oluşturulmuştur ve her bir EDK adının sinyal genişliği, artarak, son adımda mikroşerit genişliğine yaklaşmaktadır. Her bir EDK adım uzunluğu 500 μm olarak belirlenmiş ve yapıdaki toplam adım sayısı 4, 5, 7, 8, 9 olan beş ayrı yapı tasarlanmıştır ve üretilmiştir. Her bir adımdaki karakteristik empedansın 50Ω olmasını sağlayacak toprak-sinyal-toprak boyutları Tablo 1'de verilmiştir. Çok noktalı yapılarda yine değişken geçiş uzunluğu olarak belirlenmiştir. Bu modelde sinyal hattı EDK'dan mikroşerit hatta doğrusal olarak açılmaktadır. Topraklar ise, geçiş aralığında eşit uzaklıklarda 50Ω karakteristik empedans sağlayan EDK boyutlarına uygun olarak 30 ayrı nokta olarak belirlenmiştir. Daha sonra bu noktalar kendi aralarında doğrusal olarak birleştirilmiş ve geçisi sağlayacak optimum eğri elde edilmiştir. Bu modelde geçiş uzunluğu 1500 ve 3000 μm olan iki yapı üretilmiştir.

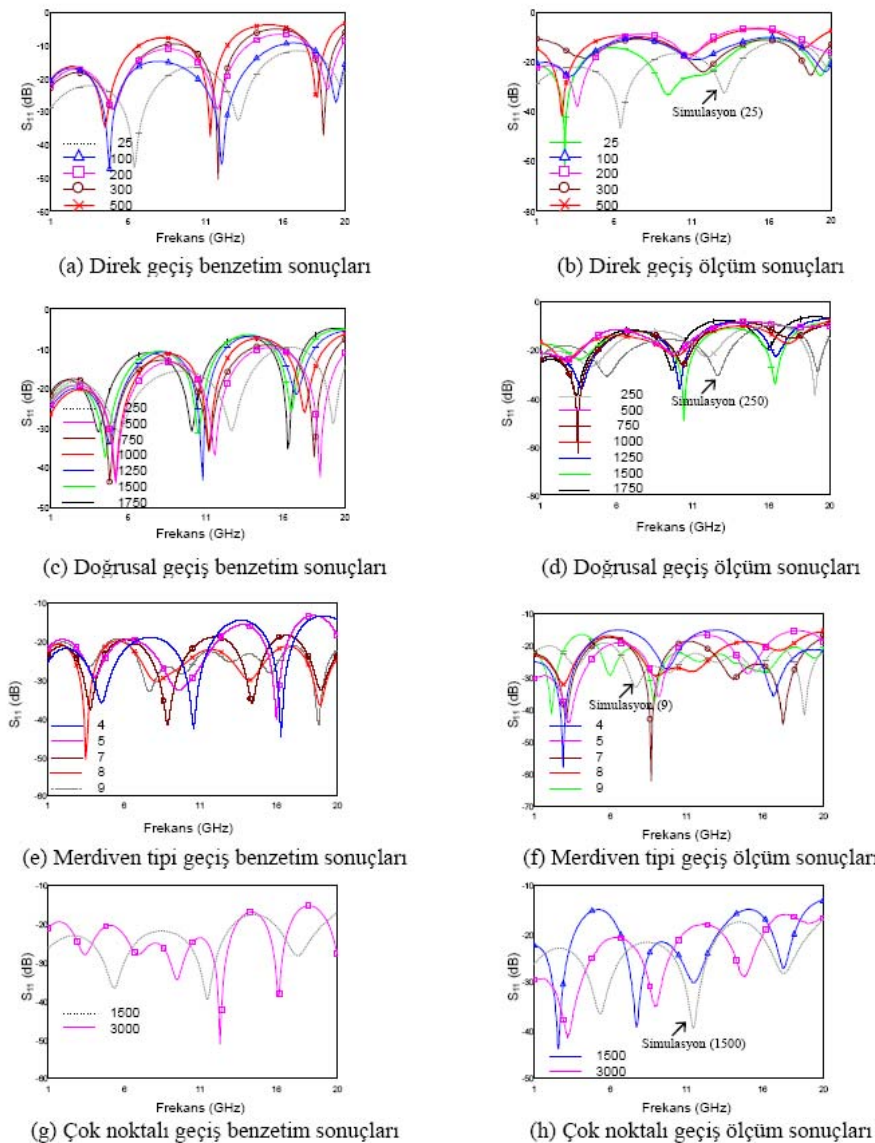
Tablo 1: Merdiven tipi geçişteki EDK boyutları

Adım Sayısı	Sinyal – Sinyal toprak mesafesi (μm)
4	320-50, 470-85, 620-150, 770-275
5	297-45, 424-81, 551-114, 678-180, 805-330
6	279-41, 388-64, 497-94, 606-140, 715-210, 824-360
7	265-39, 360-57, 445-80, 550-114, 645-160, 740-240, 835-388
8	255-37, 340-53, 425-72, 510-98, 595-132, 680-195, 765-262, 850-430
9	245-35, 320-50, 395-65, 470-85, 545-105, 620-150, 695-200, 770-275,

2. Benzetim ve Ölçüm Sonuçları

Yapılar öncelikle EDK-mikroşerit geçisi olarak tasarlanmıştır, daha sonra vektör ağ analizöründe üç istasyonuyla pul üstü ölçülebilmesi için EDK-mikroşerit-EDK geçişleri olarak üretilmiştir. Tasarımların parametrik benzetimleri Ansoft HFSS v9.2 ile yapılmış, üretimleri 4" cam taban (Pyrex 7740, $\epsilon_r=4.6$) üzerine çift taraflı litografi teknolojisi ile yaklaşık 1 μm altın kaplama ve şekillendirme adımlarıyla ODTÜ Mikroelektronik Tesisleri'nde (ODTÜMET) gerçekleştirilmiştir. Üretilen yapılar öncelikle SOLT kalibrasyon metodu yapılarak vektör ağ analizöründe üç istasyonu ile 1-20 GHz arasında pul üstünde ölçülmüş, daha sonra elde edilen karakteristiklerin iyileştirilmesi amacı ile pullar kesilmiş, EDK'nın toprak hatlarının mikroşerit yapının pul altındaki toprak hatlarına gümüş epoksi ile elektriksel bağlantısı yapılmış ve ölçümler tekrarlanmıştır. Bu yolla düşük freksnlardaki istenmeyen yansımalar engellenmiş ve benzetim ile üretim sonuçları arasındaki fark en azı indirilmiştir.

Farklı tipteki EDK-mikroşerit geçiş yapılarının benzetim ve ölçüm sonuçları detaylı olarak Şekil 2'de gösterilmektedir. Direk geçişli 25 ve 100 μm 'lik yapılarda S_{11} değerleri 15 GHz'e kadar -20 dB'nin altında ölçülmüştür. Simülasyon sonuçlarından da görüldüğü gibi frekans arttıkça yansımalar da artış görtülmektedir. 200 μm geçişli yapıda ise 6 GHz'e kadar -20 dB'nin altına yansımıya elde edilmiş ancak geçiş uzunluğu 300 ve 500 μm olan yapılarda ise artık düşük kayıplı geçiş özelliği görülmemektedir. Doğrusal geçişli yapıların hepsinde 5GHz'e kadar -15 dB'nin altında ve geri kalan diğer frekans aralığında -10 dB'nin altında yansımıya ölçülmüştür. Merdiven tipi 4 adımlı yapıda 1 – 5 ve 15 – 20 GHz arasında -20 dB'nin altında, diğer freksnlarda ise -15 dB'nin altında yansımıya elde edilmiştir. 5 adımlı yapıda ise 10 GHz'e kadar -20 dB'nin altında, 10 – 20 GHz arasında ise yansımıya -17 dB'nin altında ölçülmüştür. En düşük yansımıma, 1-20 GHz arasında en yüksek -20 dB olarak 7 adımlı yapıda elde edilmiştir. 8 adımlı yapıda 7 – 8 GHz ile 18 – 20 GHz frekans bantları dışında, 9 adımlı yapıda ise 3 – 5 GHz bandı dışında her frekansta -20 dB'nin altında yansımıya elde edilmiştir. Geçiş uzunluğunun 1500 μm olduğu çok noktalı geçişte 3 – 6 GHz ve 15 – 20 GHz bantlarının dışındaki freksnlarda -20 dB'nin altında yansımıya elde edilmiştir. Bu iki bantta simülasyonlarda elde edilen değerlerin yakalanamamasının sebebi olarak epoxi uygulamasındaki veya üretim esnasındaki koşullar gösterilebilir. Geçiş uzunluğu 3000 μm olan yapıda ise 18 GHz'e kadar olan freksnlarda -20 dB'nin altında, 18 – 20 GHz arasında ise -18 dB'nin altında yansımıya ölçülmüştür. Her tip yapıda frekans arttıkça yansımaların arttığı görülmektedir. Bunun sebebi olarak yüksek freksnlarda kısa dalgaboyuna sahip elektromanyetik dalgaların hattaki empedans uyumsuzluğundan daha çok etkilenmesi gösterilebilir.



Şekil 2: EDK – mikroşerit benzetim ve ölçüm sonuçları

Referanslar

- [1] Guizhen Zheng, John Papapolymerou, Manos M. Tentzeris “Wideband Coplanar Waveguide RF Probe Pad to Microstrip Transitions Without Via Holes” IEEE Microwave and Wireless Components Letters, Vol. 13, No. 12, Kasım 2003
- [2] Amr M.E.Safwat, Kawthar A. Zaki, William Johnson, Chi H. Lee “Novel Transition between Different Configuration of Planar Transmission Lines” IEEE Microwave and Wireless Components Letters Vol. 12, No. 4, Nisan 2002